

## О расчете тонкостенных конструкций открытого профиля из композиционного материала

Н.Н. Курдюмов

Рассмотрена задача о сложном нагружении тонкостенной конструкции открытого профиля, несимметричного по геометрическим и жесткостным характеристикам. Принятая в изложенном ниже решении расчетная схема позволяет отказаться от гипотезы об отсутствии сдвига в срединной поверхности, принятой В.З. Власовым [2]. Так же в приведенной работе построена система разрешающих уравнений, которая имеет некоторые отличия от известных уравнений В.З. Власова и определено положение точки, относительно которой происходит поворот сечения, и которая в данной работе и в дальнейшем названа центром вращения.

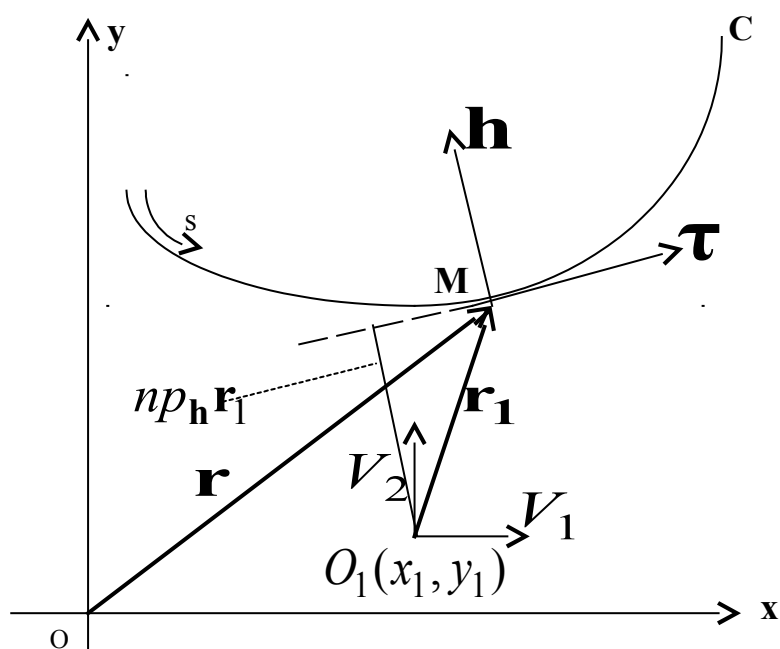
### 1. ПОСТАНОВКА ЗАДАЧИ

Будем рассматривать тонкостенную конструкцию из композиционного материала профильная линия которой (контур) задана параметрически, т. е.  $C: x = x(s), y = y(s)$  или в векторной форме  $\mathbf{r} = \mathbf{r}(s) = (x(s), y(s))$ , где  $S$  - контурная координата (Рис. 1):

Рис. 1

На рисунке 1 через  $\boldsymbol{\tau}$  и  $\mathbf{h}$  обозначены соответственно вектор касательной и вектор нормали к контуру  $C: \boldsymbol{\tau} = \boldsymbol{\tau}(s) = (x'(s), y'(s)), \mathbf{h} = \mathbf{h}(s) = (-y'(s), x'(s))$ .

В качестве допущения введем гипотезу о недеформируемости контура, согласно которой вектор



перемещения точки  $M$  может быть представлен в виде:

$$\mathbf{V}(M) = \mathbf{V}_{O_1} + \mathbf{V}_B,$$

где  $\mathbf{V}_{O_1} = V_1 \mathbf{e}_1 + V_2 \mathbf{e}_2$ ,  $\mathbf{V}_B = [\boldsymbol{\theta} \times \mathbf{r}_1]$ ,  $\boldsymbol{\theta} = (0, 0, V_3)$ ,  $\mathbf{r}_1 = (x - x_1, y - y_1, 0)$ ,

$$\mathbf{V}_B = \begin{vmatrix} \mathbf{e}_1 & \mathbf{e}_2 & \mathbf{e}_3 \\ 0 & 0 & V_3 \\ x - x_1 & y - y_1 & 0 \end{vmatrix} = V_3 (-(y - y_1), (x - x_1), 0).$$

Распишем перемещение вдоль  $\boldsymbol{\tau}$ :

$$V = (\mathbf{V}, \boldsymbol{\tau}) = (\mathbf{V}_{O_1}, \boldsymbol{\tau}) + (\mathbf{V}_B, \boldsymbol{\tau}) = V_1 x' + V_2 y' + V_3 n p_{\mathbf{h}} \mathbf{r}_1.$$

Так как

$$n p_{\mathbf{h}} \mathbf{r}_1 = (\mathbf{r}_1, \mathbf{h}) = (x - x_1) y' - x' (y - y_1) = \rho_1,$$

то формулу перемещения вдоль контура можно записать в виде:

$$V = V_1 x' + V_2 y' + V_3 \rho_1.$$

Теория тонкостенных стержней, построенная В.З. Власовым, строится на двух основных гипотезах:

1. отсутствие деформации контура;
2. отсутствие деформации сдвига в срединной поверхности тонкостенного профиля.

Что касается первой гипотезы, то, как было показано выше, для тонкостенных пространственных систем открытого профиля, раскрепленных системой поперечных элементов типа нервюр или шпангоутов, она является очевидной и оправданной. Благодаря этой гипотезе смещение вдоль контура  $V(z, s)$  следует принять в виде:

$$V(z, s) = V_1(z) \cdot x'(s) + V_2(z) \cdot y'(s) + V_3(z) \cdot \rho_1(s). \quad (1.1)$$

В формуле (1.1) через  $V_1$  и  $V_2$  обозначены прогибы вдоль главных центральных осей  $XOY$  поперечного сечения;  $V_3$  - угол закручивания относительно некоторого центра, а  $\rho_1$  - перпендикуляр из этого центра на касательную к контуру, где  $XOY$  - декартова система

координат (Рис.1);  $x'$  и  $y'$  - производные по контурной координате  $S$ :  $x' = \frac{\partial x}{\partial s}$ ,  $y' = \frac{\partial y}{\partial s}$ .

Точка, относительно которой происходит закручивание, *как следует из второй гипотезы*, оказывается центром изгиба. Но ряд проведенных экспериментов под руководством А.Н. Елпатьевского не подтверждают закручивание относительно центра изгиба, что говорит о *неточности второй гипотезы* и необходимости её *изменения*.

Для построения теории, свободной от второй гипотезы, запишем формулу закона Гука для деформации сдвига в срединной поверхности:

$$\frac{\partial U}{\partial s} + \frac{\partial V}{\partial z} = \frac{\tau_{zs}}{G}. \quad (1.2)$$

Определяя интегрированием формулы (1.2) представленное продольное перемещение  $U(z, s)$  и внося в полученное выражение формулу (1.1), напомним :

$$U(z, s) = U_0(z) - V'_1 \cdot x - V'_2 \cdot y - V'_3 \cdot \omega_1 + \int_{s_0}^s \frac{\tau_{zs}}{G} ds. \quad (1.3)$$

В формуле (1.3) обозначено:  $U_0$  - произвольная функция интегрирования,  $\omega_1$  - секториальная характеристика относительно некоторого, пока произвольного, центра ( $\omega_1 = \int_0^s \rho_1 ds$ ).

Очевидно, что при  $G \rightarrow \infty$  формула (1.3) определяет продольное перемещение по теории тонкостенных стержней В.З. Власова.

В силу того, что в соответствии с (1.1) рассматривается приближенная теория, то входящее в (1.3) касательное напряжение можно представить в виде разложения по функциям, зависящим от контурной координаты. При этом учтем, что центром изгиба называется точка, относительно которой момент всех внутренних касательных сил в сечении при изгибе без кручения равен нулю.

$$\frac{\tau_{zs}}{G} = \tau_1 \cdot x' + \tau_2 \cdot y' - V'_3 \cdot (\rho_2 - \rho_1) + \tau_3 \cdot \rho_2. \quad (1.4)$$

В формуле (1.4)  $\rho_2 = \rho_2(s)$  - некоторая, пока произвольная, функция ( по смыслу - длина перпендикуляра к контуру, опущенного из произвольной точки).

Внося (1.4) в (1.3), получим:

$$U = U_0 - (V'_1 - \tau_1) \cdot x - (V'_2 - \tau_2) \cdot y - (V'_3 - \tau_3) \cdot \omega_2. \quad (1.5)$$

В формуле (1.5) обозначено:  $\omega_2 = \int_0^s \rho_2 ds$ .

Для дальнейших выкладок введем следующие обозначения:

$$\left. \begin{aligned} V'_1 - \tau_1 &= U_1 \\ V'_2 - \tau_2 &= U_2 \\ V'_3 - \tau_3 &= U_3 \end{aligned} \right\}. \quad (1.6)$$

В соответствии с (1.6) формула (1.5) запишется в следующем виде:

$$U = U_0 - U_1 \cdot x - U_2 \cdot y - U_3 \cdot \omega_2. \quad (1.7)$$

На основании (1.6) и (1.4) можем написать:

$$\tau_{zs} = G[(V'_1 - U_1)x' + (V'_2 - U_2)y' - V'_3\rho_1 + U_3\rho_2]. \quad (1.8)$$

Используя закон Гука и выражение (1.7) при  $\varepsilon_s = 0$  запишем продольное нормальное напряжение в следующем виде [1]:

$$o_z = E(U'_0 - U'_1x - U'_2y - U'_3\omega_2). \quad (1.9)$$

В формулах (1.8) и (1.9)  $E$  и  $G$  модули первого и второго рода, которые для многослойной волокнистой структуры сечения стержня из композитного материала определяются по формулам [1]:

$$E = \sum_{j=1}^m \bar{\delta}_j (\bar{E}_1^j \cos^4 \theta_j + \bar{E}_2^j \sin^4 \theta_j + G_{12}^j \sin^2 2\theta_j + \bar{E}_1^j \mu_{12}^j \sin^2 \theta_j \cos^2 \theta_j);$$

$$G = \sum_{j=1}^m \bar{\delta}_j [G_{12}^j \cos^2 2\theta_j + (\bar{E}_1^j + \bar{E}_2^j - 2G_{12}^j) \sin^2 \theta_j \cos^2 \theta_j],$$

где  $\bar{\delta}_j$  - относительная толщина слоя  $\bar{\delta}_j = \frac{\delta_j}{\delta}$ ,

$$\bar{E}_{1,2}^j = \frac{E_{1,2}^j}{(1 - \mu_{12}^j \mu_{21}^j)} - \text{модули слоя в продольном и поперечном направлениях,}$$

$\theta_j$  - угол укладки волокон слоя,

$m$  - количество слоев.

Таким образом, напряженное и деформированное состояния рассматриваемой теории в соответствии с формулами (1.1), (1.2), (1.8), (1.9) определяется функциями  $U_i$  и  $V_k$ .

## 2. ПОСТРОЕНИЕ СИСТЕМЫ РАЗРЕШАЮЩИХ УРАВНЕНИЙ

Для определения функций  $U_i$  и  $V_k$  воспользуемся принципом Лагранжа и запишем функционал энергии [3]:

$$\begin{aligned} \mathcal{E} = \int_L \left\{ \int_c \left[ \frac{E\delta}{2} (U'_0 - U'_1x - U'_2y - U'_3\omega_2)^2 - pu - qv + \right. \right. \\ \left. \left. + \frac{G\delta}{2} ((V'_1 - U_1)x' + (V'_2 - U_2)y' - U_3\rho_2 + V'_3\rho_1)^2 \right] ds + \frac{G\mathfrak{Z}_T}{2} (V'_3)^2 \right\} dz. \quad (2.1) \end{aligned}$$

Последним членом в (2.1) учитывается работа касательных напряжений в срединной поверхности:

$$G\mathfrak{Z}_T = \frac{1}{3} \int_c G\delta^3 ds. \quad (2.2)$$

Для дальнейших выкладок потребуем, чтобы все функции, зависящие от контурной координаты  $(x, y, \omega_2, \rho_1)$ , отвечали следующим условиям ортогональности:

$$\int_c Ex\delta ds = \int_c Ey\delta ds = 0. \quad (2.3.1)$$

$$\int_c Exy\delta ds = 0. \quad (2.3.2)$$

$$\int_c E\omega_2 \delta ds = \int_c E\omega_2 x \delta ds = \int_c E\omega_2 y \delta ds = 0. \quad (2.3.3)$$

$$\int_c G\rho_1 x' \delta ds = \int_c G\rho_1 y' \delta ds = 0. \quad (2.3.4)$$

На возможности выполнения условий (2.3.1)-(2.3.4) остановимся позднее.

При выполнении условий (2.3) функционал (2.1) примет следующий вид:

$$\begin{aligned} \mathcal{D} = & \int_L \left[ \frac{a_{00}}{2} (U'_0)^2 + \frac{a_{11}}{2} (U'_1)^2 + \frac{a_{22}}{2} (U'_2)^2 + \frac{a_{33}}{2} (U'_3)^2 + \right. \\ & + \frac{b_{11}}{2} (V'_1 - U_1)^2 + \frac{b_{22}}{2} (V'_2 - U_2)^2 + b_{12} (V'_1 - U_1)(V'_2 - U_2) + \\ & + \frac{b_{33}}{2} (U_3)^2 - b_{13} U_3 (V'_1 - U_1) - b_{23} U_3 (V'_2 - U_2) - \\ & - b_{34} V'_3 U_3 + \frac{b_{44}}{2} (V'_3)^2 - p_0 U_0 - p_1 U_1 - p_2 U_2 - p_3 U_3 - \\ & \left. - q_1 V_1 - q_2 V_2 - q_3 V_3 \right] dz. \quad (2.4) \end{aligned}$$

В выражении функционала (2.4) введены следующие обозначения для квадратур:

$$\begin{aligned} a_{00} &= \int_c E dF, \quad a_{11} = \int_c E x^2 dF, \quad a_{22} = \int_c E y^2 dF, \quad a_{33} = \int_c E \omega_2^2 dF, \\ b_{11} &= \int_c G (x')^2 dF, \quad b_{12} = \int_c G x' y' dF, \quad b_{22} = \int_c G (y')^2 dF, \quad b_{33} = \int_c G \rho_2^2 dF, \\ b_{44} &= \int_c G \rho_1^2 dF + G \mathfrak{Z}_T, \quad b_{13} = \int_c G x' \rho_2 dF, \quad b_{23} = \int_c G y' \rho_2 dF, \quad b_{34} = \int_c G \rho_1 \rho_2 dF \\ b_{14} &= \int_c G x' \rho_1 dF, \quad b_{24} = \int_c G y' \rho_1 dF, \quad p_0 = \int_c p ds, \quad p_1 = \int_c p x ds, \quad p_2 = \int_c p y ds, \quad p_3 = \int_c p \omega_2 ds, \\ q_1 &= \int_c q x' ds, \quad q_2 = \int_c q y' ds, \quad q_3 = \int_c q \rho_1 ds. \quad (2.5) \end{aligned}$$

Обозначая выражение в квадратных скобках в функционале (2.4) через  $\Phi = \Phi(z, U_i, V_k, U'_i, V'_k)$ , запишем уравнения Эйлера-Лагранжа и естественные граничные условия в следующем виде:

$$\begin{aligned} \frac{d}{dz} \frac{\partial \Phi}{\partial U'_i} - \frac{\partial \Phi}{\partial U_i} = 0 \quad \frac{\partial \Phi}{\partial U'_i} \delta U_i \Big|_0^L = 0 \quad i = \overline{0,3}, \\ \frac{d}{dz} \frac{\partial \Phi}{\partial V'_k} - \frac{\partial \Phi}{\partial V_k} = 0 \quad \frac{\partial \Phi}{\partial V'_k} \delta V_k \Big|_0^L = 0 \quad k = \overline{1,3}. \quad (2.6) \end{aligned}$$

Вычисляя производные, входящие в (2.6), и внося полученные выражения в выше обозначенные формулы, получим разрешающие уравнения задачи и естественные граничные условия в следующем виде:

$$a_{00} U''_0 + p_0 = 0. \quad (2.7.1)$$

$$(a_{00} U'_0) \delta U_0 \Big|_0^L = 0. \quad (2.7.2)$$

$$a_{11}U_1'' + b_{11}(V_1' - U_1) + b_{12}(V_2' - U_2) - b_{13}U_3 + p_1 = 0. \quad (2.8.1)$$

$$b_{11}(V_1'' - U_1') + b_{12}(V_2'' - U_2') - b_{13}U_3' + q_1 = 0. \quad (2.8.2)$$

$$a_{22}U_2'' + b_{12}(V_1' - U_1) + b_{22}(V_2' - U_2) - b_{23}U_3 + p_2 = 0. \quad (2.8.3)$$

$$b_{12}(V_1'' - U_1') + b_{22}(V_2'' - U_2') - b_{23}U_3' + q_2 = 0. \quad (2.8.4)$$

$$(a_{11}U_1')\delta U_1 \Big|_0^L = 0. \quad (2.8.5)$$

$$[b_{11}(V_1' - U_1) + b_{12}(V_2' - U_2) - b_{13}U_3]\delta V_1 \Big|_0^L = 0. \quad (2.8.6)$$

$$(a_{22}U_2')\delta U_2 \Big|_0^L = 0. \quad (2.8.7)$$

$$[b_{12}(V_1' - U_1) + b_{22}(V_2' - U_2) - b_{23}U_3]\delta V_2 \Big|_0^L = 0. \quad (2.8.8)$$

$$a_{33}U_3'' - b_{33}U_3 + b_{34}V_3' + b_{13}(V_1' - U_1) + b_{23}(V_2' - U_2) + p_3 = 0. \quad (2.9.1)$$

$$-b_{34}U_3' + b_{44}V_3'' + q_3 = 0. \quad (2.9.2)$$

$$(a_{33}U_3')\delta U_3 \Big|_0^L = 0. \quad (2.9.3)$$

$$[b_{34}U_3' - b_{44}V_3'']\delta V_3 \Big|_0^L = 0. \quad (2.9.4)$$

Уравнением (2.7.1) описывается задача растяжения-сжатия, системой уравнений (2.8.1-2.8.4) задача изгиба, системой уравнений (2.9.1-2.9.2) задача кручения.

Следует отметить, что для определенного класса контуров, для которых выполняется условие равенства нулю коэффициента  $b_{12}$ , система уравнений (2.8.1-2.8.4) распадется на две независимые системы уравнений (2.8.1-2.8.2) и (2.8.3-2.8.4).

Естественно, что распадение общей задачи о напряженно-деформированном состоянии тонкостенного стержня на частные, полученные выше, задачи произойдет только при выполнении сформулированных условий ортогональности (2.3.1)-(2.3.4). Поэтому подробнее рассмотрим реализацию этих условий.

Так как задача решается в центральных главных координатах, то условия (2.3.1) и (2.3.2) выполняются тождественно.

Представим функцию  $\rho_1$  в виде:

$$\rho_1 = \rho_{10} + C_1x' + C_2y'. \quad (2.10)$$

Удовлетворяя двум условиям ортогональности (2.3.4), получаем:

$$C_1 = \frac{b_{22} \int G\rho_{10}x'dF - b_{12} \int G\rho_{10}y'dF}{b_{12}^2 - b_{11}b_{22}}; \quad C_2 = \frac{-b_{12} \int G\rho_{10}x'dF + b_{11} \int G\rho_{10}y'dF}{b_{12}^2 - b_{11}b_{22}}. \quad (2.11)$$

Для выполнения трех оставшихся условий ортогональности (2.3.3), представим функцию  $\rho_2$  в виде:

$$\rho_2 = \rho_{20} + C_3x' + C_4y', \quad (2.12)$$

и тогда в соответствии со смыслом обобщенной секториальной координаты  $\omega_2$  будем иметь следующее выражение:

$$\omega_2 = \int_{s_0}^s \rho_{20} ds + C_3x + C_4y + C_5. \quad (2.13)$$

Внося (2.13) в (2.3.3), получим:

$$C_3 = -\frac{\int E \left( \int_{s_0}^s \rho_{20} ds \right) x dF}{\int E y^2 dF}, \quad (2.14.1)$$

$$C_4 = -\frac{\int E \left( \int_{s_0}^s \rho_{20} ds \right) y dF}{\int E x^2 dF}, \quad (2.14.2)$$

$$C_5 = -\frac{\int E \left( \int_{s_0}^s \rho_{20} ds \right) dF}{\int E dF}. \quad (2.14.3)$$

### 3. АНАЛИЗ СИСТЕМЫ РАЗРЕШАЮЩИХ УРАВНЕНИЙ

Рассмотрим систему дифференциальных уравнений (2.7)-(2.9).

Уравнение (2.7.1) не требует каких-либо пояснений. Что же касается уравнений (2.8), описывающих изгиб, то они отличаются от аналогичных уравнений, полученных В.З. Власовым [2]. Запишем первые два из этих уравнений (2.8.1) и (2.8.2):

$$\begin{aligned} a_{11}U_1'' + b_{11}(V_1' - U_1) + b_{12}(V_2' - U_2) - b_{13}U_3 + p_1 &= 0, \\ b_{11}(V_1'' - U_1') + b_{12}(V_2'' - U_2') - b_{13}U_3' + q_1 &= 0. \end{aligned} \quad (3.1)$$

Интегрируя последнее уравнение, запишем:

$$b_{11}(V_1'' - U_1') + b_{12}(V_2'' - U_2') - b_{13}U_3' = Q_1 = Q_{10} - \int_0^z q_1 dz. \quad (3.2)$$

Здесь  $Q_{10}$  - опорная реакция в сечении  $z = 0$ ,  $Q_1$  - эпюра перерезывающих сил. Исключая из первого уравнения полученное выражение и интегрируя его, запишем:

$$U_1 = -\frac{1}{a_{11}} \int_0^z \int_0^z (Q_1 + p_1) dz dz + \lambda_1 z + \lambda_2. \quad (3.3.1)$$

Проведя аналогичную операцию со второй группой уравнений (2.8.3) и (2.8.4), можем записать выражение для функции  $U_2$ :

$$U_2 = -\frac{1}{a_{22}} \int_0^z \int_0^z (Q_2 + p_2) dz dz + \lambda_3 z + \lambda_4. \quad (3.3.2)$$

Интегрируя один раз два оставшихся уравнения и решая их совместно, определяем функции прогибов  $V_1$  и  $V_2$ :

$$V_1 = \frac{\eta_1 b_{22} - \eta_2 b_{12}}{b_{11} b_{22} - b_{12}^2}, \quad (3.4.1)$$

$$V_2 = \frac{\eta_2 b_{11} - \eta_1 b_{12}}{b_{11} b_{22} - b_{12}^2}. \quad (3.4.2)$$

В формулах (3.4.1) и (3.4.2) введены следующие обозначения:

$$\eta_1 = \int_0^z [Q_1 + b_{11} U_1 + b_{12} U_2 + b_{13} U_3] dz + \lambda_5,$$

$$\eta_2 = \int_0^z [Q_2 + b_{12} U_1 + b_{22} U_2 + b_{23} U_3] dz + \lambda_6.$$

Как следует из (3.3.3), прогибы зависят от функции  $U_3$ , связанной с задачей кручения.

Для описания задачи кручения предварительно определим из уравнения (2.9.2) и выражения (3.2) следующие выражения:

$$(V_1' - U_1) = \frac{b_{12}}{b_{12}^2 - b_{11} b_{22}} (b_{23} U_3 + Q_2) - \frac{b_{22}}{b_{12}^2 - b_{11} b_{22}} (b_{13} U_3 + Q_1), \quad (3.5.1)$$

$$(V_2' - U_2) = \frac{b_{12}}{b_{12}^2 - b_{11} b_{22}} (b_{13} U_3 + Q_1) - \frac{b_{11}}{b_{12}^2 - b_{11} b_{22}} (b_{23} U_3 + Q_2), \quad (3.5.2)$$

$$U_3 = \frac{b_{44}}{b_{34}} V_3' - \frac{M_{kp}}{b_{34}}. \quad (3.5.3)$$

Здесь обозначено:  $M_{kp} = M_{kp}^0 - \int_0^z q_3 dz$ , а  $M_{kp}^0$  - крутящий момент в сечении  $z = 0$ .

Внося выражения (5.3) в уравнение (2.9.1), получим:

$$V_3''' - k^2 V_3' = f. \quad (3.6)$$

В уравнении (3.6) введены обозначения:

$$k^2 = \frac{1}{a_{33}} \left[ b_{33} - \frac{b_{34}^2}{b_{44}} - 2 \frac{b_{12} b_{13} b_{23}}{b_{12}^2 - b_{11} b_{22}} + \frac{b_{13}^2 b_{22}}{b_{12}^2 - b_{11} b_{22}} + \frac{b_{23}^2 b_{11}}{b_{12}^2 - b_{11} b_{22}} \right]. \quad (3.7.1)$$



$$f = \frac{M''_{kp}}{b_{44}} - \frac{M_{kp}}{a_{33}b_{44}} \left[ b_{33} - 2 \frac{b_{12}b_{13}b_{23}}{b_{12}^2 - b_{11}b_{22}} + \frac{b_{13}^2b_{22}}{b_{12}^2 - b_{11}b_{22}} + \frac{b_{23}^2b_{11}}{b_{12}^2 - b_{11}b_{22}} \right] -$$

$$- \frac{b_{34}}{a_{33}b_{44}(b_{12}^2 - b_{11}b_{22})} (b_{23}b_{12} - b_{13}b_{22}) Q_1 -$$

$$- \frac{b_{34}}{a_{33}b_{44}(b_{12}^2 - b_{11}b_{22})} (b_{13}b_{12} - b_{23}b_{11}) Q_2. \quad (3.7.2)$$

Интеграл уравнения (3.6) запишется в следующем виде:

$$V_3 = \lambda_7 e^{-kz} + \lambda_8 e^{kz} + \lambda_9 + V_3^{част}. \quad (3.8)$$

#### 4. РЕШЕНИЕ ТЕСТОВОЙ ЗАДАЧИ

В качестве тестовой задачи рассмотрим кручение профиля, показанного на Рис.2 толщиной  $\delta$  из материала с модулем упругости  $E$ . Поскольку профиль симметричный, то главные центральные координаты известны.

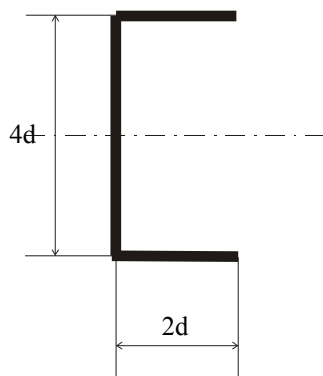
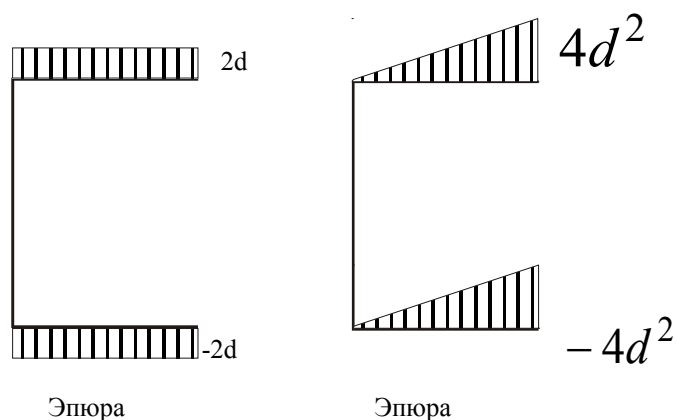


Рис. 2

Для построения функций  $\rho_2$  и  $\omega_2$ , начальные функции примем в виде, показанном на (Рис.3).

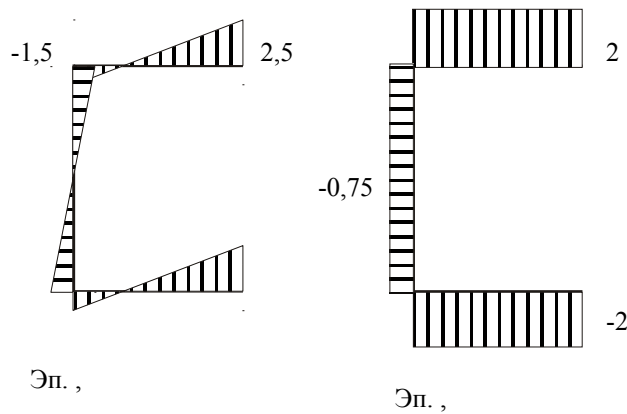


**Рис. 3**

В силу того, что эпюра  $\omega_{20}$  кососимметрична, то она ортогональна с  $\mathbf{1}$  и  $\mathbf{x}$ , и поэтому  $C_3 = C_5 = 0$ , а:

$$C_4 = -\frac{c}{a_{22}} = -\frac{3}{4}d,$$

и, следовательно, (Рис. 4):

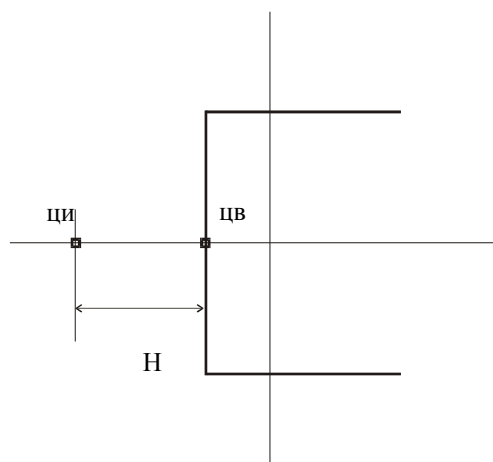


**Рис. 4**

$$\rho_2 = \rho_{20} - \frac{3}{4}dy', \quad \omega_2 = \omega_{20} - \frac{3}{4}dy.$$

За функцию  $\rho_{10}$  принимаем  $\rho_{20}$ , которая заведомо ортогональна с  $x'$  и  $y'$ , а поэтому  $C_1 = C_2 = 0$  и  $\rho_1 = \rho_{10}$ .

Таким образом, центр изгиба (ЦИ) расположен на расстоянии  $H = \frac{3}{4}d$  от стенки профиля, а центр вращения (ЦВ) в месте пересечения стенок профиля оси  $Ox$  (Рис.5)



## Рис. 5

Как известно из экспериментов, если поперечная сила, приложенная на конце консольного стержня, проходит через центр изгиба, то закручивания не происходит. Исследуем этот вопрос в полученном решении, для чего определим следующие коэффициенты:

$$b_{22} = 4d\delta, \quad b_{33} = \frac{74}{4}d^3\delta, \quad b_{23} = 3d^2\delta, \quad b_{34} = 16d^3\delta.$$

Для рассматриваемой задачи правая часть уравнения (3.6) будет равна:

$$f = \left[ - \left( b_{33} - \frac{b_{23}^2}{b_{22}} \right) M_{kp} - Q_2 \frac{b_{23}b_{34}}{b_{22}} \right] \frac{1}{a_{33}b_{44}}.$$

Если сила приложена в центре изгиба, то  $M_{kp} = -\frac{3}{4}dQ_2$ . Подсчитывая коэффициенты, входящие в выражение  $f$ , получим:

$$b_{33} - \frac{b_{23}^2}{b_{22}} = 16d^3\delta,$$

$$\frac{b_{23}b_{34}}{b_{22}} = 12d^4\delta,$$

и, следовательно,  $f = 0$ .

## 5. ЗАКЛЮЧЕНИЕ

В заключении можно сделать следующие выводы:

1. Принятая в изложенном выше решении расчетная схема позволяет отказаться от гипотезы об отсутствии сдвига в срединной поверхности, принятой В.З. Власовым.

2. В приведенной работе построена система разрешающих уравнений, которая имеет некоторые отличия от известных уравнений В.З. Власова.

3. Определено положение точки, относительно которой происходит поворот сечения, и которая в данной работе и в дальнейшем названа центром вращения, то есть, если граничные условия на торцах тонкостенной конструкции однородны, то при действии поперечной силы, проходящей через центр изгиба, закручивания не происходит и  $V_3 = 0$ . В то же время, при действии иной нагрузки или при условии, что линия действия перерезывающей силы не проходит через центр изгиба, закручивание происходит относительно центра вращения.

## ЛИТЕРАТУРА

1. Васильев В.В. Механика конструкций из композиционных материалов. - М.: Машиностроение, 1988.- 272с.
- 2.Власов В.З. Избранные труды. - М.: АН СССР, 1963, т.2.- 508 с.
- 3.Строительная механика ЛА ./под ред. Образцова И.Ф. – М.: Машиностроение,1986.-536 с.

---

*Курдюмов Николай Николаевич, ассистент кафедры сопротивления материалов, динамики и прочности машин Московского государственного авиационного института (технического университета).*